

# کاربرد عملی نتایج *CPT* در ارزیابی نشست پی‌ها

مینا مالک‌دوست پیشکناری (کارشناس ارشد)

دانشکده‌ی فنی، دانشگاه گیلان

ابوالفضل اسلامی (دانشیار)

دانشکده‌ی هندسی عمران و محیط زیست، دانشگاه صنعتی امیرکبیر

در این نوشتار به منظور برآورد تغییرات سختی خاک در قالب *E* از داده‌های آزمایش نفوذ مخروط (*CPT*) استفاده شده که پروفیل پیوسته در خاک زیر پی، به خصوص خاک‌های نرم و شل که عضلات نشست درمورد آنها جدی است، را فراهم می‌کند. برای یکواختی در محاسبات نشست از روابط اصلاح شده تنش-کرنش جانبو (۱۹۶۷) با تغییرات پیشنهادی در توان تنش (*m*) و مدول سختی (*j*) استفاده شده که براساس چارت‌های طبقه‌بندی رفتاری خاک و داده‌های مقاومت نوک مخروط (*q<sub>c</sub>*)، اصطکاک جداری (*f<sub>w</sub>*) و فشار آب خودری (*u*) ناشی از آزمایش *CPTu* و *CPT* اصلاح شده‌اند. برای ارزیابی دقیق تر رابطه‌ی پیشنهادی، یک بانک اطلاعاتی شامل ۵۲ مورد عملی مشکل از نتایج آزمایش بارگذاری پی‌ها به همراه داده‌های آزمایش *CPT* جمع‌آوری شد. نتایج حاصل از مقایسه‌ها به‌کمک روش‌های آماری و احتمال و با استفاده از روابط جانبو، مایرهوف و اشمرمن نشان می‌دهد که رابطه‌ی پیشنهادی برای برآورد نشست بر پایه‌ی رابطه‌ی اصلاح شده جانبو و نیز استفاده از داده‌های پیوسته *CPT* به میزان قابل توجهی توانسته مقادیر نشست را نسبت به روش‌های متدول دیگر با دقت بیشتر و پراکنده‌کی کمتر پیش‌بینی کند.

واژگان کلیدی: آزمایش نفوذ مخروط (*CPT*)، نشست، تنش-کرنش، مدول سختی، طبقه‌بندی رفتاری خاک، موارد عملی.

## ۱. مقدمه

می‌باید، در تمام روابط موجود پارامترهایی که نمادی از سختی خاک هستند - نظریر (*E* سختی خاک)، *M* (مدول محصور شده) و *m<sub>w</sub>* (ضریب تغییر حجم) - در محدوده‌ی مورد بررسی که گاهی بسته به عرض پی می‌تواند عمق قابل ملاحظه‌بی را شامل شود، توسط یک عدد کلی و به صورت میانگین در محاسبات نشست اعمال می‌شود. این در حالی است که بدون حتی تغییر جنس لایه‌ی خاک و با پیشروی در عمق، سختی خاک به ترتیج افزایش خواهد یافت. بنابراین استفاده از یک عدد به صورت میانگین سختی خاک در عمق چند متر می‌تواند نتیجه را از مقدار واقعی دور کند.<sup>[۱]</sup>

دلیل در نظر گرفتن یک عدد به صورت میانگین برای *E* یا *m<sub>w</sub>* در روابط این است که اندازه‌گیری سختی خاک در فواصل کوتاه و با دقت بالا کار دشواری است. بهمین لحاظ برای عدد سختی خاک نهایتاً از میانگین‌گیری دو یا سه مقدار *E* یا *m<sub>w</sub>* در عمق تأثیر ناشی از بار پی استفاده می‌شود. مهم‌ترین گام در یافتن رابطه‌ی مناسب برای تخمین نشست، یافتن سختی معادل خاک به طور دقیق است. هرچه سختی خاک دقیق‌تر اندازه‌گیری شود، پیش‌بینی صورت‌گرفته به رفتار واقعی نزدیک‌تر خواهد بود. درمورد پروفیل خاک‌هایی که در آنها لایه‌ها در فواصل کوتاه تغییر می‌کنند باید برای تک‌تک لایه‌ها مقدار سختی را یافت و برای محاسبه‌ی نشست هر لایه از سختی همان لایه استفاده کرد. از میان روش‌های موجود برای تعیین مدول تنش-کرنش، روابط تجربی و نیز نتایج آزمایش‌های درجای *SPT* (آزمایش

برای تعیین نشست پی‌ها، از روش‌ها و روابط بسیاری می‌توان بهره جست که در بیشتر آن‌ها عواملی چون سختی خاک (*E*، عرض پی (*B*)، فشار وارد از پی بر زمین (*q<sub>c</sub>*) و گسترش آن در عمق تعیین‌کننده و مؤثرند. در تمامی روابط ارائه شده «نشست آنی» و «نشست تحکیمی» از یکدیگر جدا شده‌اند؛ به عبارت دیگر پاره‌بی از روابط میران نشست پی‌ها را روی خاک‌های دانیبی (نشست آنی) و تعدادی دیگر میران نشست آن‌ها را روی خاک‌های جسبنده (نشست تحکیمی) برسی می‌کنند. بنابراین در منابع رؤوکنیک به ندرت رابطه‌بی واحد برای یافتن نشست، به طوری که بتواند در تمامی خاک‌ها صادق باشد، یافته می‌شود. در روابط موجود، خاک‌ها در دو دسته تقسیم‌بندی می‌شوند: ۱. خاک‌های دانیبی با قابلیت زهکشی سریع که در آنها بالا فاصله پس از بارگذاری نشست رخ خواهد داد؛ ۲. خاک‌های چسبنده که در آنها تغییرات حجمی بر اثر افزایش تنش مؤثر سریار، در درازمدت اتفاق خواهد افتاد. بنابراین اولین گام در تعیین نشست حاصل از باریک بی، مشخص کردن نوع خاک در منطقه‌ی تأثیر سریار است. با توجه به تغییر جنس لایه‌های خاک در عمق، یکی از مشکلات عده در پیش‌بینی نشست‌های احتمالی، تعیین دقیق نوع خاک در هر لایه و در نهایت استفاده از روابط مربوط به آن نوع خاک است. با وجود نمونه‌گیری از خاک در فواصل زیاد، احتمال وجود خطرا در این‌گونه محاسبات افزایش

که در آن  $u_1$  نمایندهٔ فشار آب حفره‌یی در حالت سکون و  $u_2$  فشار آب حفره‌یی پشت مخروط است. بر این اساس، نسبت فشار پیش‌تحکیمی مطابق رابطهٔ ۴ به دست می‌آید.

$$OCR = \frac{u_1 - u_2}{u_2} \quad (4)$$

## ۲.۱. مدول محصور شده

بیشتر رابطه‌های بین نتایج  $CPT$  و مدول محصور شده ( $M$ )، مربوط به خط مماس مدول است. مقدار مرجع  $M$ ، که به طور معمول و براساس تنش مؤثر قائم، قبل از شروع آزمایش درجا است  $M$  نامیده می‌شود. برای ماسه‌های لایدار سمنته نشده و عادی تحکیم‌یافته، محاسبهٔ  $M$  با استفاده از روابط ۵ پیشنهاد می‌شود.<sup>[۶]</sup>

$$\begin{aligned} M &= 4q_c & \text{برای } q_c < 10 \text{ MPa} \\ M &= 2q_c + 20 \text{ (MPa)} & \text{برای } 10 \text{ MPa} < q_c < 50 \text{ MPa} \\ M &= 120 \text{ MPa} & \text{برای } q_c > 50 \text{ MPa} \end{aligned} \quad (5)$$

که در آن  $q_c$  مقاومت نوک مخروط در آزمایش  $CPT$  است.

## ۳.۱. مدول برشی متناظر با کرنش کوچک

در سال ۲۰۰۰، محققین طی تحقیقاتی اعلام کردند بیشینه مدول برشی متناظر با کرنش کوچک با  $q_c$  حاصل از آزمایش  $CPT$  مرتبط خواهد بود (رابطهٔ ۶):<sup>[۷]</sup>

$$G_{\max} = 49/2q_c^{0.51} \quad (6)$$

## ۴.۱. مدول یانگ زهکشی نشده

برای محاسبهٔ مدول یانگ زهکشی نشده ( $E_u$ ) غالباً از مقاومت برشی زهکشی نشده درجا ( $S_u$ ) به صورت رابطهٔ ۷ استفاده می‌شود.<sup>[۸]</sup>

$$E_u = nS_u \quad (7)$$

که در آن  $n$  مقدار ثابتی است که به سطح تنش برشی، نسبت پیش‌تحکیم‌یافتنگی و حساسیت رس‌بستگی دارد. در این روش ابتدا باید مقاومت برشی زهکشی نشده را از روی مقادیر آزمایش  $CPT$  به دست آورد.

## ۵.۲. مدول محصور شده یک‌بعدی ( $M$ ) به صورت ضریبی از $q_c$ تعریف می‌شود. ارتباط

مدول محصور شده یک‌بعدی ( $M$ ) به صورت ضریبی از  $q_c$  تعریف می‌شود. ارتباط  $m_v$  و  $q_c$  به صورت رابطهٔ ۸ نشان داده شده است.<sup>[۹]</sup>

$$M = \alpha_m q_c$$

$$\alpha_m = 2,75 \pm 0,55$$

$$M = \frac{1}{m_v} \Rightarrow m_v = \frac{1}{\alpha_m q_c} \quad (8)$$

نفوذ استاندارد،  $CPT$  (آزمایش نفوذ مخروط)،  $PMT$  (آزمایش پرسیومنتری) و  $DMT$  (آزمایش دیلاتومتری) مطرح‌اند. از میان این روش‌ها، آزمایش نفوذ مخروط ( $CPT$ ) به دلیل دقیق‌تر و تکرارپذیری نتایج (بهویژه در خاک‌های ضعیف)، توصیف بهتر از لایه‌های کم‌ضخامت، سرعت بیشتر انجام و امکان اتصال لوازم و تجهیزات بیشتر به آن و نیز دقیق‌تر بسیار زیاد آن بهویژه در خاک‌های ریزدانه از اهمیت زیادی برخوردار است. بررسی و تعیین میزان نیز دقيق‌تر نشست در خاک‌های همواره از مسائل مطرح در مهندسی زئوتکنیک بوده است. در این نوع خاک‌ها، میزان نشست قابل ملاحظه است و بدليل طولانی بودن مدت زمان وقوع، در صورت عدم تعیین دقیق مقدار آن، بروز مشکلات فراوان قابل تصور است.<sup>[۱۰]</sup>

## ۲. روش‌های تعیین پارامترهای زئوتکنیک با استفاده از

### نتایج $CPTu$ و $CPT$

با استفاده از داده‌های آزمایش نفوذ مخروط، اغلب پارامترهای زئوتکنیکی خاک را می‌توان به دست آورد. در این نوشته روش‌های تعیین پارامترهای زئوتکنیکی مهم در تعیین میزان نشست خاک‌ها، با استفاده از نتایج آزمایش  $CPTu$  و  $CPT$  بررسی می‌شود. یادآور می‌شود برای تعیین هریک از این پارامترها روش‌های مختلفی وجود دارد که بدليل استفاده از نتایج آزمایش  $CPT$ ، و نیز برای رعایت این نکته که روش مورد استفاده برای کلیهٔ خاک‌ها قابل کاربرد باشد، تنها به ذکر این روش اکتفا می‌شود.

### ۱.۱. نسبت پیش‌تحکیم‌یافتنگی ( $OCR$ )

یکی از پارامترهای بسیار مهم در فعالیت‌های زئوتکنیکی نسبت پیش‌تحکیم‌یافتنگی است. این نسبت عموماً به صورت تنش‌های مؤثر بیشینه (که در گذشته وجود داشته) به تنش مؤثر حال حاضر تعریف می‌شود. روش‌های تعیین مستقیم  $OCR$  براساس نتایج  $CPT$  عبارت است از:

۱. استفاده از رابطهٔ ۱ که براساس اطلاعات  $CPT$  پیشنهاد شده است.<sup>[۱۱]</sup>

$$OCR = 0,33 \left[ \frac{q_t - \sigma_v}{\sigma_v} \right] \quad (1)$$

در این رابطه،  $q_t$  نشان‌گر مقاومت مخروط اصلاح شده برای فشار آب حفره‌یی در آزمایش  $CPT$  است که برای تأثیر فشار آب حفره‌یی اصلاح شده، و  $\sigma_v$  تنش قائم اولیه است.

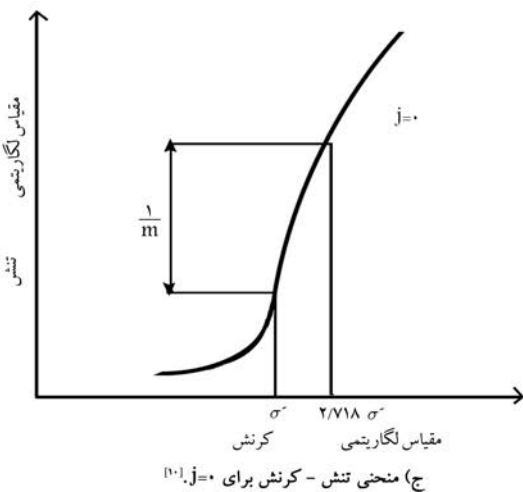
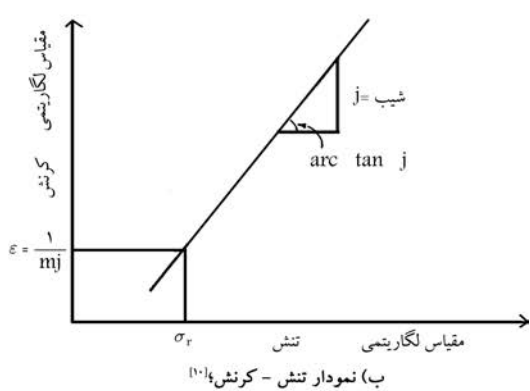
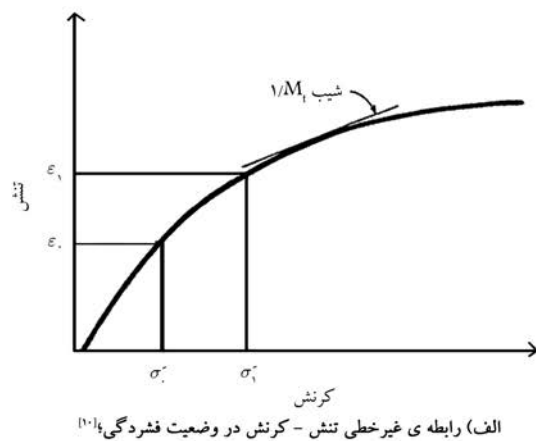
۲. اگر در رس‌ها فشار آب حفره‌یی ( $u_1$ ) اندازه‌گیری شود، استفاده از رابطهٔ ۲ برای تعیین  $OCR$  توصیه می‌شود.<sup>[۱۲]</sup>

$$OCR = 0,18 \left[ \frac{q_t - u_1}{\sigma_v} \right] \quad (2)$$

در این رابطه  $u_1$  فشار آب حفره‌یی روی مخروط است.

۳. از آنجا که تقاضه در فشار حفره‌یی نرم‌الشده ( $PPD$ ) ممکن است با ارتباط داشته باشد، استفاده از رابطهٔ ۳ به منظور محاسبهٔ  $PPD$  پیشنهاد می‌شود.<sup>[۱۳]</sup>

$$PPD = \frac{u_1 - u_2}{u_0} \quad (3)$$



شکل ۱. روابط تنش - کرنش پیشنهادی توسط جانبو برای شرایط مختلف [۱۰].

صادق است - تغییرات کرنش در مقابل لگاریتم فشار در شکل ۱ ج نشان داده شده است. این منحنی شبیه آن چیزی است که در آزمایش تحریک به دست می‌آید. در نهایت رابطه بین  $C_c$  و شماره مدول مطابق رابطه ۱۵ است.

$$m = [\ln(10)] \left[ \frac{1 + e_0}{C_c} \right] = 2,30 \frac{1 + e_0}{C_c}$$

$$m_r = [\ln(10)] \left[ \frac{1 + e_0}{C_{cr}} \right] = 2,30 \frac{1 + e_0}{C_{cr}} \quad (15)$$

که در آن  $C_c$  شاخص تراکم و  $C_{cr}$  شاخص انبساط است.

### ۳. روابط رایج در تعیین نشست برمبنای داده‌های آزمایش CPT

۱. رابطه‌ی ۹ برای تعیین نشست قائم روی خاک‌های ماسه‌ی بی، با استفاده از نتایج آزمایش CPT ارائه شده که براساس نظریه‌ی کشسان به دست آمده است [۸]:

$$S = C_1 C_2 \Delta P \sum_i^n \frac{I_z}{C_2 E} \Delta z \quad (9)$$

در این رابطه  $C_1$  نشان‌گر ضریب اصلاح برای عمق مدفون؛  $C_2$  ضریب اصلاح برای خرزش؛  $C_2$  ضریب اصلاح برای شکل بی و  $\Delta P$  فشار خالص وارد از طرف پی به زمین است؛  $I_z$  ضریب تأثیر کرنش؛ و  $\Delta z$  ضخامت لایه‌های مورد بررسی و  $E$  مدول یانگ است.

۲. رابطه‌ی ۱۰ یک رابطه‌ی ساده اما محافظه‌کارانه برای محاسبه‌ی نشست بی‌ها روی خاک‌های ماسه‌ی بی است که در آن مستقیماً از نتایج آزمایش نفوذ مخربه (CPT) استفاده شده است [۸]:

$$S = \frac{\Delta P \cdot B}{2 \bar{q}_c} \quad (10)$$

و در آن  $\Delta P$  فشار خالص وارد از پی به زمین،  $\bar{q}_c$  میانگین مقاومت نوک برای عمق تأثیری حدود  $B$  است. مدول یانگ ( $E$ ) در این رابطه برابر  $2 \bar{q}_c$  در نظر گرفته شده است.

۳. شماره‌ی مدول طبق رابطه‌ی تجربی ۱۱ قبل محاسبه‌ی است؛ در شکل ۱(الف) نیز رابطه‌ی غیرخطی تنش - کرنش نشان داده شده است [۱۰]:

$$M_t = m \sigma_r \left[ \frac{\sigma'}{\sigma_r} \right]^{(1-j)} \quad (11)$$

که در آن  $m$  شماره‌ی مدول (بدون بعد)؛  $j$  توان تنش؛  $\sigma'$  تنش مؤثر؛ و  $\sigma_r$  تنش مرجع با مقداری معادل ۱۰۰ KPa است. وجود تنش مرجع این امکان را فراهم می‌کند که پارامترهای بی بعد در این رابطه مورد استفاده قرار گیرند. از طرفی با توجه به شکل منحني، رابطه‌ی ۱۲ را خواهیم داشت:

$$\varepsilon = \int_{\sigma_r'}^{\sigma'} \frac{1}{M} d\sigma' \quad (12)$$

ترکیب دو رابطه‌ی قبل و حل آن، روابط ۱۳ و ۱۴ را برای تعیین کرنش در لایه‌ی خاک از طریق افزایش تنش مؤثر ارائه می‌دهد.

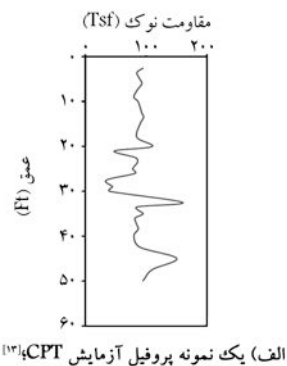
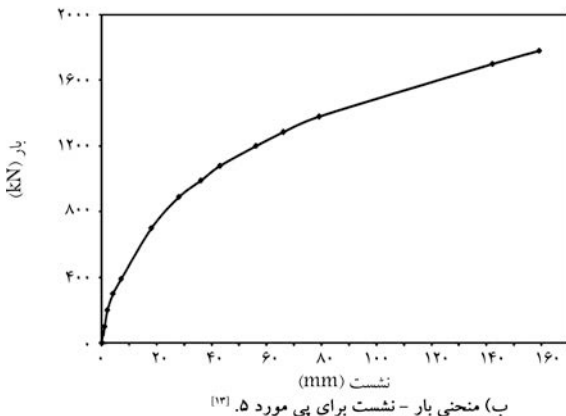
$$\varepsilon = \frac{1}{mj} \left[ \left( \frac{\sigma'}{\sigma_r} \right)^j - \left( \frac{\sigma_0'}{\sigma_r} \right)^j \right] \quad \text{اگر } j \neq 0 \quad (13)$$

$$\varepsilon = \frac{1}{m} \ln \left[ \frac{\sigma'}{\sigma_0'} \right] \quad \text{اگر } j = 0 \quad (14)$$

مقدار عددی، شماره‌ی مدول و توان تنش برای استفاده در موارد خاص به وسیله آزمایش‌های آزمایشگاهی تعیین شده (ادئومتر - آزمایش سه‌محوری) یا در سایت به وسیله‌ی آزمایش بارگذاری صفحه و مشاهدات صحرابی و غیره، قابل تعیین خواهد بود. حل برای  $j = 0$  برای  $\varepsilon = \ln \left( \frac{\sigma'}{\sigma_0'} \right)$  خط مستقیمی در محورهای لگاریتمی تیجه خواهد داد (شکل ۱(ب)). بنابراین برای یک خط مشخص، شماره مدول و توان تنش را می‌توان از روی مقدار کرنش برای  $(\sigma_r = 100 \text{ kPa})$  به دست آورد. اگر توان تنش برابر صفر باشد ( $j = 0$ ) - که برای خاک‌های ریزدانه‌ی رسی

جدول ۱. مقادیر  $f_s$  و  $m$  مورد استفاده در رابطه‌ی جانبی. [۱۰]

نوع خاک	توان نتش	شماره مدول
سنگ	مقاومت بالا	۱۰۰۰ - ۱۰۰۰۰۰۰
	مقاومت کم	۳۰۰ - ۱۰۰۰
شن	٪۵	۴۰۰ - ۸۰۰
	متراکم	۲۵۰ - ۴۰۰
ماسه	متوفی	۱۵۰ - ۲۵۰
	شل	۱۰۰ - ۱۵۰
	متراکم	۸۰ - ۲۰۰
سیلت	متوفی	۶۰ - ۸۰
	شل	۴۰ - ۶۰
	سخت	۲۰ - ۶۰
رس	soft	۱۰ - ۲۰
	نرم	۵ - ۱۰
خاک‌های آلی و باتی		۱ - ۵


 الف) یک نمونه پروفیل آزمایش CPT<sup>[۱۱]</sup>

 ب) منحنی بار - نشت برای پی مورد ۵.<sup>[۱۲]</sup>

شکل ۲. نمونه‌ی از اطلاعات مربوط به مقاومت نوک CPT و آزمایش باگذاری موارد عملی.

نهایت نشتست اندازه‌گیری شده موجود است. گفتنی است که از مجموعه موارد عملی سایت آزمایشگاهی زئوتکنیک در دانشگاه تگزاس، مورد اول تا پنجم مورد آزمایش قرار گرفته‌اند. این پی‌ها که تمامی آنها ضخامت ۱/۲ متری دارند، بر روی ماسه اجرا شد. خلاصه‌ی از مشخصات موارد عملی جمع‌آوری شده در جدول ۲ ارائه شده و یک نمونه از پروفیل ثبت شده‌ی آزمایش CPT و منحنی بار-نشتست برای پی مورد ۵، در شکل ۲ نشان داده شده است. [۱۲] و [۱۱]

## ۵. رابطه‌ی پیشنهادی

رابطه‌ی جانبی که برآورده نشتست برای تمامی خاک‌ها را شامل می‌شود مبتنی بر استفاده از نظریه‌ی نتش-کرنش و تغییرات سطح نتش است، و توسط آین نامه‌ی کانادایی مهندسی پی (CFEM، ۱۹۹۲) به عنوان روشی هماهنگ برای محاسبه‌ی نشتست پی‌های سطحی و عمیق توصیه شده است. [۱۱] بنابراین در ارائه و توسعه‌ی رابطه‌ی پیشنهادی از رابطه‌ی پایه‌ی جانبی استفاده شده است. چنان‌که نشان داده شد، جانبی براساس نوع خاک دو رابطه‌ی متفاوت ارائه کرده است. این جداسازی به دلیل تفاوت در رفتار خاک‌های دانه‌بی و خاک‌های چسبنده در برابر نشتست ناشی از سربار خارجی است، در حالی که می‌توان چنین در نظر گرفت که با وجود این که رس سیلار پیش تحقیم‌یافته جزو دسته خاک‌های چسبنده است، میران نشتست حاصله در آن تحت سربار خارجی سیلار کم، و شاید حتی سیلار کم‌تر از میران نشتست حاصله در خاک‌های ماسه‌بی شل تحت اثر همان سربار باشد. رفتار خاک‌های رسی نرم و خاک‌های رسی عادی تحقیم‌یافته، خاک‌های رسی پیش تحقیم‌یافته با درجه‌ی پیش تحقیمی کم و نیز خاک‌های رسی پیش تحقیم‌یافته با درجه‌ی پیش تحقیمی

محاسبه‌ی نشتست در خاک‌های رسی پیش تحقیم‌یافته با استفاده از روش شماره‌ی مدول اساساً مانند استفاده از روش نسبت تخلخل است. رابطه‌ی ریاضی آن به صورت رابطه‌ی ۱۶ است.

$$\varepsilon = \frac{1}{m_r} \ln \left[ \frac{\sigma'_p}{\sigma'_s} \right] + \frac{1}{m} \ln \left[ \frac{\sigma'_s + \Delta \sigma'}{\sigma'_p} \right] \quad (16)$$

که در آن  $\varepsilon$  کرنش در لایه‌ی تحت تحکیم؛  $m$  شماره‌ی مدول؛  $m_r$  شماره‌ی مدول پیش تحقیم‌یافته؛  $\sigma'_p$  فشار پیش تحقیم‌یافته‌ی؛  $\sigma'_s$  فشار مؤثر اولیه و  $\Delta \sigma'$  افزایش نتش در مرکز لایه بر اثر اعمال بار است. مقادیر توان نتش ( $z$ ) و نیز شماره‌ی مدول ( $m$ ) استفاده شده در این روابط در جدول ۱ نشان داده شده است.

## ۴. شرح اطلاعات موارد عملی

برای سنجیدن رابطه‌ی پیشنهادی و مقایسه‌ی آن با موارد عملی، و نیز بررسی کفايت سایر روش‌های رایج شامل اشمرتمن، جانبی و مایرهوف، نسبت به جمع‌آوری یک بانک اطلاعات اقدام شد. در این راستا ۵۲ مورد مورد نظر از متابع معتبر جمع‌آوری شد. این موارد شامل ۳۰ مورد پی تک، ۵ مورد پی نواری، و ۷ مورد پی گستردۀ بوده که عمق مدفون این موارد از ۵۰ تا ۷۶۰ متر متغیر است. نشتست‌ها در هر مورد به صورت میانگین است که در محدوده‌ی ۳۶ میلی‌متر تا ۱۵۰ میلی‌متر در پایان دوره‌ی نشتست آنی یا تحقیمی اندازه‌گیری شده است، پروفیل  $q_s$  نیز نشان داده شده در این سایت‌ها در محدوده مقادیر ۵ MPa تا ۲۰ MPa است و طبق نتایج آزمایش‌های دانه‌بندی، خاک زیر این پی‌ها در پاره‌ی از موارد شامل رس و لای، و در موارد دیگر ترکیبی از شن و ماسه است. ۱۰ مورد از این موارد به کالیبره‌کردن رابطه‌ی پیشنهادی اختصاص یافت و ۴۲ مورد باقی مانده شامل پی‌های سطحی است که به صورت دومند، نواری و گستردۀ به منظور تعیین دقت رابطه‌ی پیشنهادی و مقایسه‌ی نتایج آن با سایر روابط مورد استفاده قرار خواهد گرفت. عمق بررسی‌های صورت گرفته تا محدوده‌ی افزایش نتش ناشی از سربار است.

در این نمونه‌ها، مقدار  $q_s$ ، بار واردۀ بر پی، ابعاد پی، عمق مدفون و در

جدول ۲. مشخصات موارد عملی جمع آوری شده. [۱۵-۱۶]

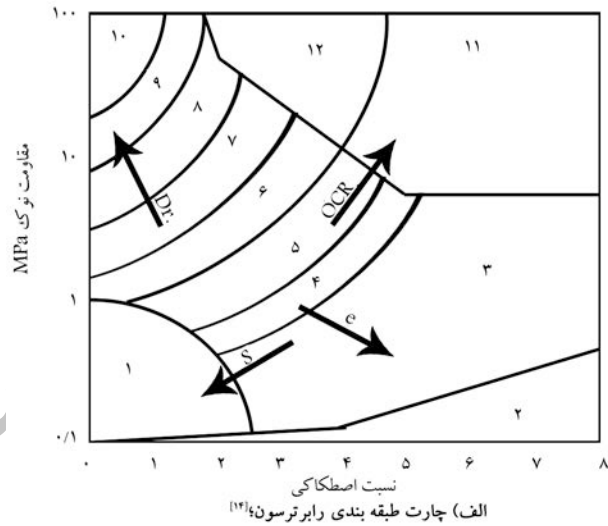
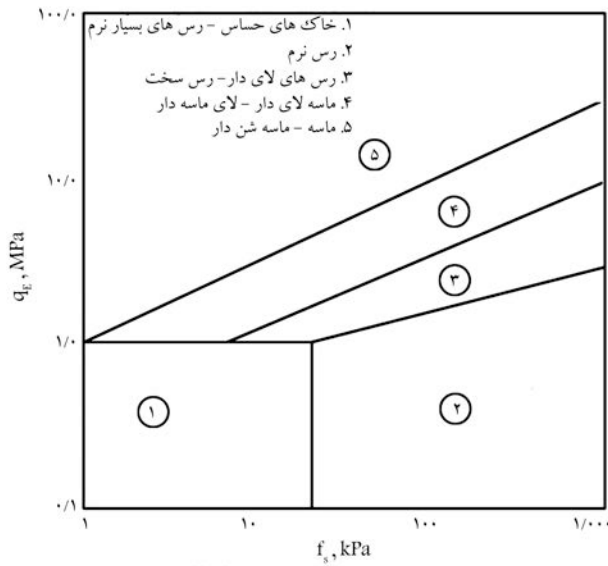
$S_m$ (mm)	$R_f$ (%)	$q_c$ (Mpa)	$D_f$ (m)	$L$ (m)	$B$ (m)	$q$ (kPa)	شماره مرجع	شماره مورد عملی
۱۵۰	۲	۱۸	۰,۵	۳	۳	۱۱۲۲,۳	۱۳	۱
۱۴۵	۳	۱۷,۲	۰,۷	۱,۵	۱,۵	۱۴۷۶,۵	۱۳	۲
۱۵۲	۱	۱۶,۸	۰,۸	۳	۳	۹۸۷,۲	۱۳	۳
۱۴۷	۳	۱۷,۷	۱	۲,۵	۲,۵	۱۱۲۲,۳	۱۳	۴
۱۶۰	۲	۱۷,۳	۱,۲	۱	۱	۱۸۳۲,۸	۱۳	۵
۱۰۵	۴	۱۶	۰,۶	۲,۲	۲,۲	۲۹۰	۱۳	۶
۱۸۴	۵	۱۷,۵	۳	۲۳,۴	۲۲,۴	۱۸۲	۱۵	۷
۳,۹	۵	۱۷,۷	۳	۵,۷۱	۴,۵	۱۹۹	۱۲	۸
۵,۴	۴	۱۷,۳	۳	۷۲,۹	۱۵	۸۳	۱۲	۹
۹,۳	۶	۱۷	۰,۳۸	۱۲,۶	۱,۶	۲۵۵	۱۲	۱۰
۱۰	۱	۱۷,۱	۰,۲۷	۱۲,۸۵	۱,۱۵	۲۵۵	۱۶	۱۱
۵,۸	۷	۱۷,۸	۰,۲۳	۱۸,۴	۰,۸	۳۰۰	۱۶	۱۲
۱۶,۹	۱	۱۷,۱	۰,۲۱	۲۴,۱۲	۱,۸	۲۱۰	۱۲	۱۳
۱۱,۷	۵	۱۶,۸	۳,۱۱	۲۵,۹۶	۲۳,۶	۱۷۰	۱۲	۱۴
۲۰,۸	۱	۱۷	۳	۲۱,۷	۲۱,۷	۱۵۶	۱۵	۱۵
۱۱	۲	۱۷,۸	۳	۵,۷۷	۳,۳	۳۱۰	۱۵	۱۶
۱۲,۷	۱	۱۶,۹	۳	۶,۳	۲,۶	۳۱۰	۱۲	۱۷
۱۸,۳	۱	۱۷,۲	۳	۶,۸	۴,۵	۳۱۰	۱۶	۱۸
۱۸	۸	۱۲,۶	۰,۰	۳۶	۳۶	۱۷۶	۱۶	۱۹
۳۲,۵	۵	۴	۲	۲۲,۹	۲,۶	۲۱۸	۱۶	۲۰
۱۱	۴	۱۶,۳	۱	۱۵	۸,۶	۱۱۰	۱۶	۲۱
۳,۶	۳	۱۳,۵	۰,۰	۱	۱	۲۲۴	۱۵	۲۲
۴	۷	۱۰	۰,۰	۲	۰,۵	۲۲۴	۱۵	۲۳
۴,۴	۵	۱۶	۱	۱	۱	۵۷۵	۱۵	۲۴
۵,۰	۴	۷	۰,۵	۱	۱	۳۴۷	۱۶	۲۵
۶,۹	۵	۱۱,۸	۰,۳۳	۱	۰,۶	۱۳۱	۱۶	۲۶
۱۲,۷	۴	۲,۲	۰,۳	۱	۰,۶	۲۳۰	۱۶	۲۷
۷,۶	۴	۲,۰,۸	۰,۲۷	۰,۹	۰,۹	۱۳۶	۱۲	۲۸
۶,۴	۳	۲,۳	۰,۹	۰,۹	۰,۹	۱۱۵	۱۲	۲۹
۱۳	۵	۲,۷	۰,۲	۱,۲	۱,۲	۲۰۲	۱۲	۳۰
۱۲,۷	۴	۳,۲	۰,۸	۱,۱	۱,۱	۲۷۴	۱۵	۳۱
۶۵	۴	۲	۰,۰	۱۴,۴۸	۳,۳	۱۲۲	۱۵	۳۲
۲۲	۲	۱۰	۴,۵	۱۰,۰۷	۹,۵	۲۱۷	۱۵	۳۳
۱,۱۶	۴	۱۴	۲,۵	۸,۵	۵	۲۶۵	۱۲	۳۴
۸	۴	۷,۲	۰,۰	۱	۱	۲۵۰	۱۵	۳۵
۵	۵	۶,۷	۰,۰	۱	۱	۱۵۰	۱۵	۳۶
۷	۷	۳,۴	۰,۰	۱	۱	۲۵۰	۱۵	۳۷
۷	۳	۴,۴	۰,۰	۱	۱	۱۵۰	۱۵	۳۸
۲۰,۰	۴	۵,۷	۰,۰	۲,۵	۲,۵	۲۵۰	۱۵	۳۹
۱۷,۸	۶	۹,۹	۰,۰	۲,۵	۲,۵	۲۵۰	۱۶	۴۰
۵,۴	۵	۷,۲	۰,۰	۱	۱	۱۵۰	۱۶	۴۱
۰,۸	۴	۱۰,۹	۰,۰	۲,۵	۲,۵	۱۲۰	۱۶	۴۲

هستند. از طرف دیگر هرچه نمونه خاک به سمت خاک‌های متراکم پیش رود مقدار عددی  $q_t$  بزرگ شده و این نشان‌دهنده مقاومت خوب این خاک‌ها در برابر نفوذ مخروط آزمایش CPT است و پیش‌بینی می‌شود که در این خاک‌ها مقدار عددی نشتست کوچک باشد. چنان‌که در جدول ۱ مشاهده می‌شود، در رابطه‌ی ارائه شده توسط جایزه در تعیین کرنش برای خاک‌های شنی، ماسه‌ها و لایه‌ها در هر ۳ حالت شل، متراکم و بسیار متراکم برای ز عدد  $5/0$  و برای خاک‌های رسی در حالت سخت، سفت و بسیار نرم عدد صفر در نظر گرفته شده است. همین‌طور حدود ارائه شده برای  $m$  محدودی بسیار وسیعی از تغییرات را در هر کدام از انواع خاک‌ها نشان می‌دهد. به عنوان مثال استفاده از محدودی تغییرات ۵ تا  $60$  برای خاک‌های رسی می‌تواند نتایج کرنش محاسبه شده در این نوع خاک‌ها را دچار خطای فراوانی کند.

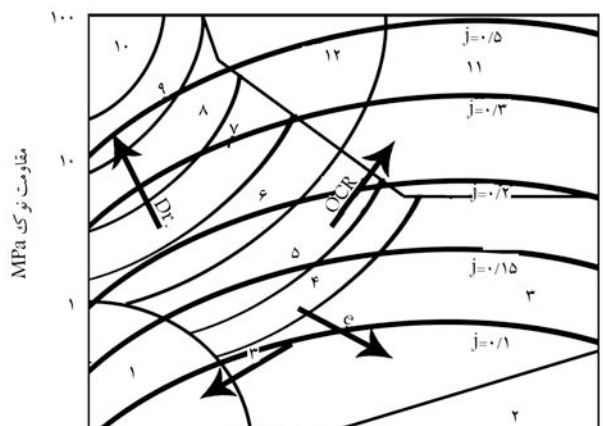
حدود ارائه شده توسط جایزه برای  $m$  در رس‌های سخت در محدودی ۵ تا  $60$  در شن‌ها در محدودی  $40$  تا  $80$  تغییر می‌کند در حالی که خاک‌های رسی پیش‌تحکیم‌بافته در مقابل افزایش نتش مؤثر سربار می‌توانند مانند خاک‌های دانه‌یی متراکم دارای مقادیر نشتست بسیار کمی باشند. چنان‌که بیان شد انتخاب عدد مناسب در میان حدود ارائه شده برای  $m$  یکی از مشکلات استفاده از این رابطه است. علاوه بر آن، تشخیص صحیح حالت خاک مورد بررسی نیاز از دیگر مشکلات موجود در استفاده از این جدول است به طوری که تشخیص ماسه‌ی متراکم از ماسه‌ی متسط یا رس نرم از رس سفت کار دشواری است. روشن‌ها و چارت‌های متعددی برای تشخیص حالات خاک‌ها ارائه شده، اما در تمامی آنها در مزه‌های جداگانه‌یی حالات مختلف، تصمیم‌گیری با دشواری و خطأ همراه است.

درنتیجه بهجای این که از ابتدا خاک در سایت تحت آزمایش دانه‌بندی قرار بگیرد و گروه آن مشخص شود و سپس از نتایج آن مانند روش جایزوی از معادل صفر یا  $5/0$  در نظر گرفته شود، پیشنهاد می‌شود فقط از نتایج حاصل از آزمایش CPT، یعنی نتایج مستقیم آن که شامل  $q_t$  و  $f_t$  است، میزان و احتمال نشتست محاسبه شود. در این صورت اگر خاکی دارای  $q_t$  بزرگی باشد بدون توجه به جنس آن که ممکن است ماسه‌ی متراکم یا رس بسیار پیش‌تحکیم‌بافته باشد، می‌توان گفت این خاک تحمل بیشتری در مقابل نشتست خواهد داشت؛ و بنابراین انتظار می‌رود در مقایسه با خاک‌هایی که  $q_t$  کوچکی دارند، تحت فشار سر بر یکسان، نشتست کم‌تری داشته باشند. براساس این چارت، خاک‌هایی که از نظر مقدار  $q_t$  در یک ناحیه قرار می‌گیرند، او تحمل فشار یکسانی برخوردار خواهند بود. بنابراین می‌توان رابطه‌ی جدید را چنین تعریف کرد: برخلاف روش جایزوی که در آن خاک‌ها به دو دسته تقسیم می‌شوند، و براساس رفتار واقعی و موقعیت واقعی در چارت طبقه‌بندی، یک عدد مناسب برای ز آنها در نظر گرفته می‌شود. در این صورت اگر به عنوان مثال، برای ز در خاک رس بسیار پیش‌تحکیم‌بافته در روش جایزو عدد صفر و در ماسه‌ی متراکم عدد  $5/0$  در نظر گرفته می‌شود، در اینجا برای این دو به دلیل رفتار یکسان در تحمل کردن فشار و دارای بودن مقدار بزرگی از  $q_t$  و در کل برای خاک‌های این ناحیه که دارای این ویژگی‌ها هستند، عدد  $5/0$  برای ز در نظر گرفته شود. همین‌طور در خاک‌های رسی عادی تحریک‌بافته که جایزو برای ز آنها عدد صفر و در ماسه‌های شل عدد  $5/0$  را در نظر می‌گرفت عدد یکسان دیگری برای آن در نظر گرفته شود. با استفاده از این روش می‌توان بهجای استفاده از دو رابطه‌ی جداگانه برای خاک‌های درشت‌دانه و ریزدانه بدون توجه به نوع خاک تنها از یک رابطه‌ی واحد برای تمامی خاک‌ها استفاده کرد. همچنین با مطالعه دقیق حدود مورد استفاده به عنوان  $m$  در رابطه‌ی جایزو، می‌توان به این نتیجه رسید که در واقع این مقادیر پیشنهادی برای  $m$  مانند مقدار  $q_t$  حاصل از آزمایش CPT در خاک‌های سفت و سخت زیاد

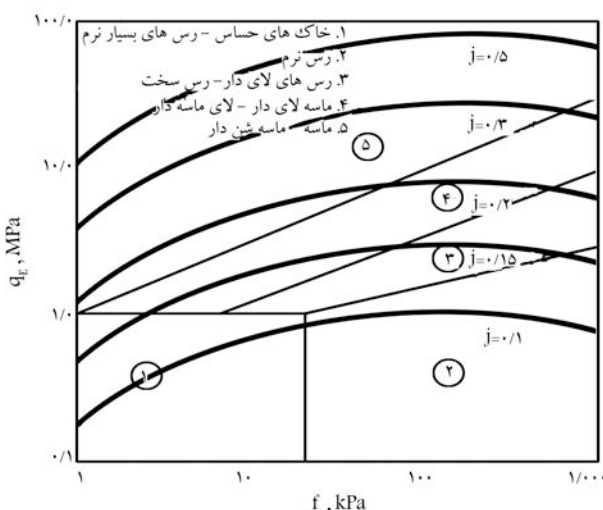
زیاد از نظر ویژگی‌های رفتاری که در مواجهه با نتش قائم از خود نشان می‌دهند یکسان نیست. توانایی خاک رسی با درجه‌ی پیش‌تحکیمی بالا برای تحمل فشار سربار زیاد است، درنتیجه نشستهای احتمالی روی این نوع خاک باید اندک باشد. در ضمن خاک‌های ماسه‌یی شل در برابر فشارهای قائم وارد متحمل کرنش زیادی می‌شوند؛ بنابراین به نظر می‌رسد بهتر است خاک‌ها براساس میزان تحمل فشار سربار گروه‌بندی شوند. طبق مطالعات صورت‌گرفته، بهترین پارامتر برای تشخیص عکس العمل خاک‌ها در برابر نشتست  $q_t$  است، که همان  $q_t$  اصلاح شده برای تأثیر فشار آب حفره‌بیی است. به عبارتی هرچه  $q_t$  خاک‌کی بزرگ‌تر باشد می‌توان پیش‌بینی کرد که نشتست کم‌تری در برابر سربار وارد خواهد داشت. براساس چارتی که در سال‌های ۱۹۹۰ تا ۱۹۹۷ ارائه شد، خاک‌های مختلف براساس  $R_f$  و  $f_t$  طبقه‌بندی شده‌اند.<sup>[۱۶-۱۷]</sup> در این چارت‌ها که در شکل ۳ نشان داده شده، خاک‌های رسی نرم و حساس و خاک‌های دانه‌یی شل  $q_t$  کوچکی دارند، اما خاک‌های رسی، در مقایسه با خاک‌های دانه‌یی شل، علاوه برداشتن  $q_t$  کوچک دارای مقدار  $R_f$  بزرگ‌تری


 (الف) چارت طبقه‌بندی رایبرنرسون<sup>[۱۶]</sup>

 (ب) چارت طبقه‌بندی اسلامی-فلنیوس<sup>[۱۷-۱۸]</sup>

شکل ۳. دو نمونه از چارت طبقه‌بندی خاک‌ها توسط CPT.



الف) چارت رابرتسون به همراه آهای پیشنهادی؛



ب) چارت اسلامی-فلنیوس به همراه آهای پیشنهادی؛

شکل ۴. مقادیر پیشنهادی ز برای چارت های طبقه بندی خاک ها با CPT.

محققین اعلام کردند که روابط ارائه شده برای تحکیم براساس آزمایش و فرضیات به عمل آمده در حالت تحکیم یک بعدی است که در عمل و در سایت چنین وضعیتی را نداشته و اصلاحاتی در این خصوص برای فشارهای اطراف صورت می گیرد.<sup>[۱]</sup> در استفاده از رابطه پیشنهادی مقادیر ضرایب اصلاح اختصاص یافته به خاک های ریزدانه و نیز محل قرارگیری آنها مطابق شکل ۵ تعیین شده است.

#### ۶. ارزیابی روش ها و بحث در نتایج

بررسی ها بر روی سی مورد پی تک، پنج مورد پی نواری و هفت مورد پی گستردۀ سورت گرفت. در تمامی این موارد عمق مدفون کمتر از عرض پی بود و درنتیجه همگی جزو بی های سطحی محسوب می شوند. مقادیر نشست برای این موارد بین ۳۶ تا ۱۵۰ میلی متر ثبت شده است. در شکل ۶ آلف مقایسه ای بین نشست های اندازه گیری شده و مقادیر پیش بینی شده توسط رابطه پیشنهادی، روش های اشمرتن، جانبو و مایرهوف در خاک های درشت دانه نشان داده شده است. چنان که از این

در خاک های نرم و شل بسیار کم است. بنا بر این می توان این مقادیر را با ضریبی از  $q_c$  آنها جایگزین کرد؛ به عبارت دیگر در رابطه جانبو به جای استفاده از  $m$  ضریبی از  $q_c$  استفاده شود ( $m = \alpha q_c$ ). پس از بررسی چند ضریب مختلف برای  $q_c$  و بررسی دقت، به منظور تخمین میزان سختی خاک ( $E$ ) نتیجه حاصله چنین بود که بهترین ضریب برای رسیدن به دقت بیشینه در خاک ها، ضریب ۲ برای  $q_c$  است. بنابراین شماره مدول جانبو به وسیله پارامتر  $2q_c$  جایگزین می شود. برای اصلاح رابطه جانبو و تغییر آن به بهترین شکل ممکن، به طوری که تنها از نتایج آزمایش CPT در آن استفاده شود، برای این کار از چارت رابرتسون استفاده شد. با استفاده از ۱۰ مورد عملی جمع آوری شده مقادیر متناظری از  $j$  در نواحی مختلف فرض شد و محاسبات انجام گرفت. پس از بررسی جواب های حاصل از رابطه پیشنهادی و مقایسه آنها با مقادیر نشست اندازه گیری شده، با توجه به شکل ۴ الف رابطه ۷ برای تعیین ز مناسب خاک ها از روی نتایج آزمایش CPT پیشنهاد شد.

$$j = \frac{q_T [1 + (0.105 \log q_T) \times R_f]}{5 \log q_T (11 \sqrt{R_f} + R_f)} \quad (17)$$

که در آن  $q_T$  فشار آب حفره بی اصلاح شده است و بر حسب واحد  $\text{kg/cm}^2$  یا bar سنجیده می شود؛  $R_f$  نیز به صورت درصد استفاده شده است. پس از یافتن  $j$  مقادیر به دست آمده در رابطه ۱۸ جایگزینی شد.

$$\varepsilon = \frac{1}{2q_T j} \left[ \left( \frac{\sigma'_t + \Delta\sigma'}{100} \right)^j - \left( \frac{\sigma'_o}{100} \right)^j \right] \quad (18)$$

در این رابطه  $\sigma'$  تنش مؤثر اولیه در مرکز لایه مورد بررسی تحت اثر وزن خاک بالای آن نقطه است و  $\Delta\sigma'$  بیانگر افزایش تنش مؤثر در مرکز لایه مورد بررسی تحت اثر وجود سربار خارجی یکنواخت روی پی است.

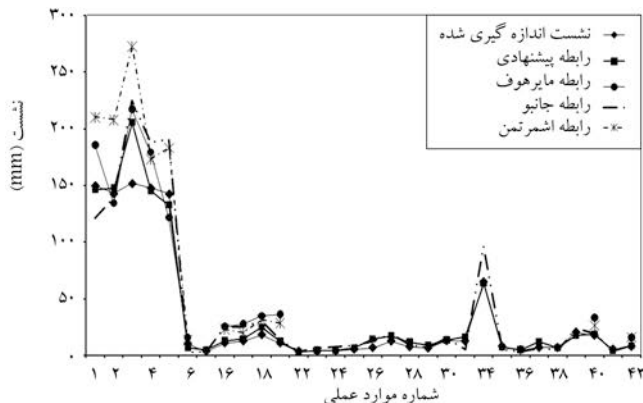
با توجه به رابطه ۱۸ و با توجه به دقت لازم برای نتایج، می توان عمق تأثیر تنش را - که در مورد پی های تک ۲ تا ۳ برابر عرض پی و برای پی های نواری ۳ تا ۴ برابر عرض پی و در پی های گسترده ۱ تا ۱/۵ برابر عرض پی است - به لایه هایی با ضخامت کم تقسیم کرد. ضخامت این لایه ها با توجه به دقت مورد نیاز تعیین می شود. در هر صورت با توجه به این که آزمایش CPT به ازای هر ۲/۵ سانتی متر نفوذ در عمق، مشخصات خاک را اعم از  $q_c$  و  $f_s$  اندازه گیری می کند، می توان ضخامت لایه های مورد بررسی را حتی تا ۲/۵ سانتی متر نیز کاهش داد. مقدار  $\varepsilon$  (کرشن) برای خاک ها از رابطه ۱۹ نتیجه می شود.

$$\varepsilon = \frac{\Delta H}{H} \quad (19)$$

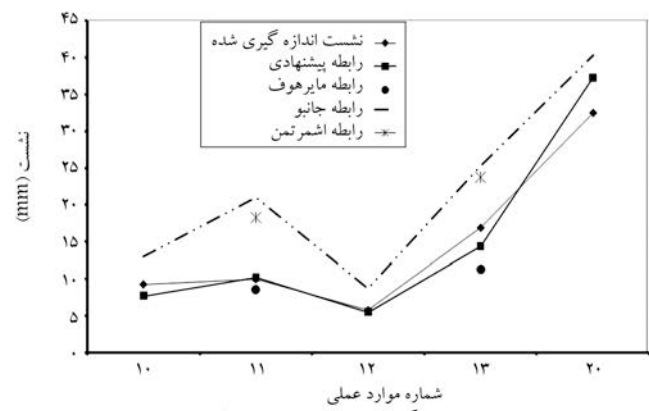
رابطه ۱۷ را با تغییر بسیار کمی در دو پارامتر موجود در آن، می توان برای چارت طبقه بندی اسلامی - فلنیوس<sup>[۱۵]</sup> که در شکل ۳ ب نیز نشان داده است، مورد استفاده قرار داد. برای استفاده از رابطه پیشنهادی در چارت مورد نظر باید از پارامتر  $f_s$  به جای  $R_f$  و از پارامتر  $q_T$  به جای  $\varepsilon$  استفاده کرد. محل قرارگیری ز بر روی چارت اسلامی-فلنیوس در شکل ۴ ب نشان داده شده است. برای تعیین مقدار نشست خاک ( $H$ )، تغییر ضخامت می توان مقدار کرنش به دست آمده را در ضخامت لایه مورد بررسی، که می تواند حتی دارای مقدار بسیار کوچک ۲/۵ سانتی متر نیز باشد، ضرب کرد. در انتهای محاسبات توجه به این نکته ضروری است که اگر پس از تعیین محل خاک در چارت رابرتسون، خاک در محدوده خاک های رسی قرار گرفت باید از یک ضریب اصلاح استفاده کرد. در سال ۱۹۷۲

در شکل ۷ نشست های اندازه گیری شده و نیز مقادیر پیش بینی شده توسط رابطه پیشنهادی به مقادیر نشست های اندازه گیری شده نزدیک تر از سایر روش ها است.

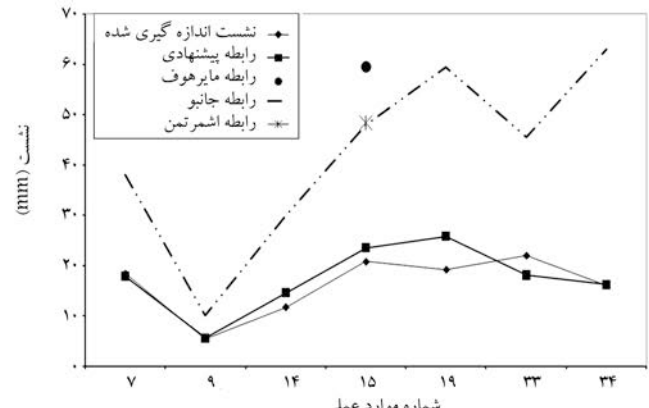
در شکل ۶ عب نشست های اندازه گیری شده در خاک های ریزدانه و مقادیر پیش بینی شده توسط رابطه پیشنهادی پیشنهادی و روش جانبو نشان داده شده است. در اینجا نیز نشست های پیش بینی شده براساس رابطه پیشنهادی به مقادیر اندازه گیری شده نزدیک تر از روش جانبو است.



(الف) مقایسه نشست های اندازه گیری شده با مقادیر به دست آمده از رابطه های ارائه شده در پی های تک؛



(ب) مقایسه نشست های اندازه گیری شده با مقادیر به دست آمده از رابطه های ارائه شده در پی های نواری؛

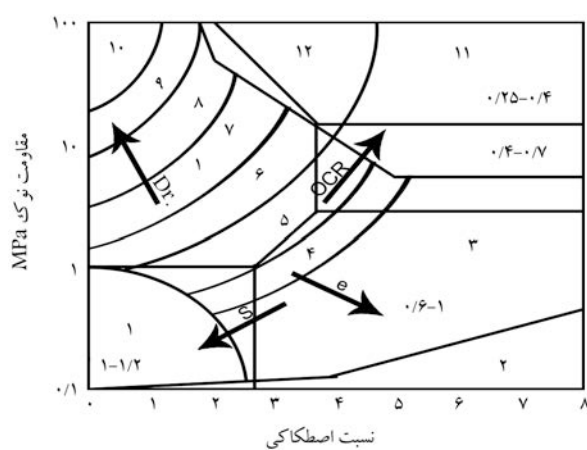


(ج) مقایسه نشست های اندازه گیری شده با مقادیر به دست آمده از رابطه های ارائه شده در پی های گسترده.

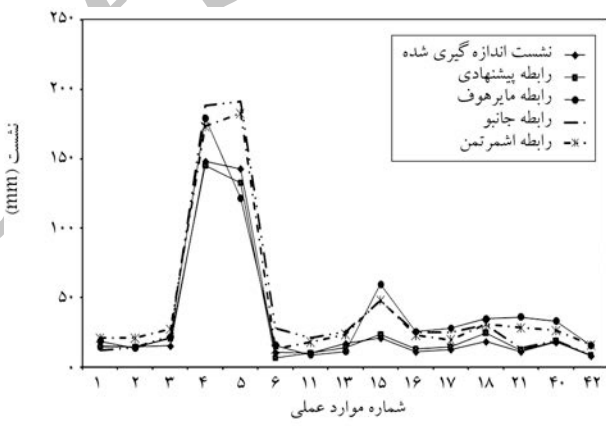
شکل ۷. مقایسه مقادیر نشست اندازه گیری شده و پیش بینی شده برای پی های مختلف.

شکل پیداست مقادیر نشست پیش بینی شده توسط رابطه پیشنهادی به مقادیر نشست های اندازه گیری شده نزدیک تر از سایر روش ها است.

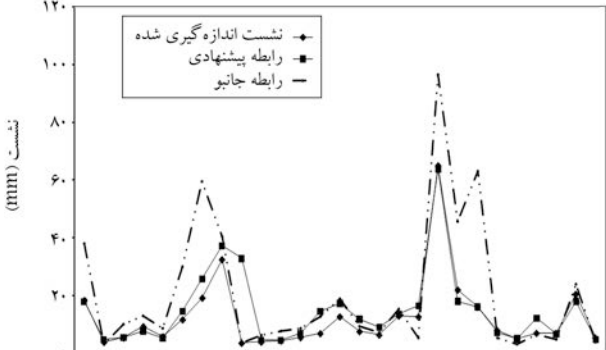
در شکل ۶ عب نشست های اندازه گیری شده در خاک های ریزدانه و مقادیر پیش بینی شده توسط رابطه پیشنهادی پیشنهادی و روش جانبو نشان داده شده است. در اینجا نیز نشست های پیش بینی شده براساس رابطه پیشنهادی به مقادیر اندازه گیری شده نزدیک تر از روش جانبو است.



شکل ۵. محل ضرایب اصلاح در چارت رابرتوسون برای خاک های نرم و شل.



(الف) مقایسه نشست های اندازه گیری شده با مقادیر به دست آمده از رابطه های جانبو، اشمرتمان، مایرهوف و رابطه پیشنهادی در خاک های پیشنهادی در داشت دانه؛



(ب) مقایسه نشست های اندازه گیری شده با مقادیر به دست آمده از رابطه پیشنهادی در خاک های ریزدانه.

شکل ۶. مقایسه مقادیر نشست اندازه گیری پیش بینی شده توسط روابط مختلف.

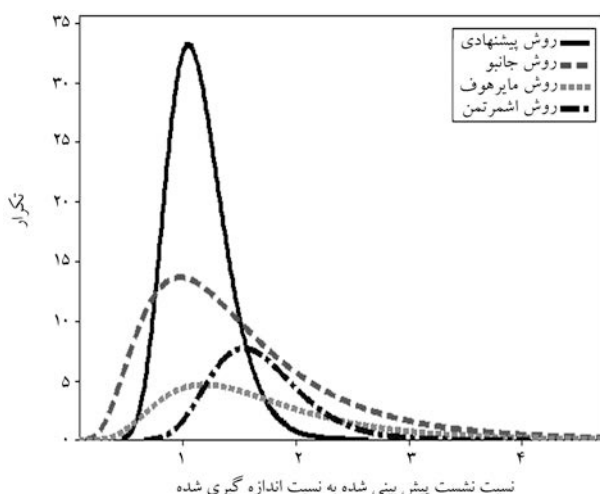
داده‌ها که بر حسب اندازه مرتب شده‌اند. نمودار تصویری روش از داده‌ها ارائه کرده و از آن به سادگی سه مشخصه‌ی شکل توزیع، موقعیت یا تمایل به مرکزیت توزیع، پراکندگی یا گسترش توزیع مشاهده می‌شود.

مهم‌ترین اندازه تمایل به مرکزیت نمونه «میانگین نمونه» است و پراکندگی یا گسترش داده‌های نمونه با انحراف استاندارد نمونه نشان داده می‌شود. هرچه انحراف استاندارد یک نمونه بیشتر باشد، پراکندگی یا گسترش داده‌ها بیشتر است.

اکثر پدیده‌های طبیعی را می‌توان با توزیع نرمال توصیف کرد؛ نقطه‌ی وسط این متغیری نشان‌گر «میانگین داده‌ها» است. در روش لگاریتمی - نرمال، برخلاف توزیع نرمال، منحنی حول میانگین داده‌ها به صورت مساوی پخش نمی‌شود. در حقیقت در این روش منحنی براساس وزن داده‌ها شکل گرفته و حول مقدار میانگین پخش می‌شود.

در شکل ۹ منحنی تغییرات نرمال رسم شده برای کلیه‌ی روش‌های روش‌های مورد بررسی نشان داده شده است. قله منحنی نرمال نشان دهنده نسبت میانگین نشست پیش‌بینی شده به میزان نشست اندازه‌گیری شده است. با دقت در این منحنی‌ها می‌توان مشاهده کرد که قله منحنی نرمال در رابطه پیشنهادی به عدد ۱ نزدیک بوده و این می‌تواند تاییدی بر دقت بیشتر رابطه پیشنهادی نسبت به سایر روابط باشد. خلاصه مشخصات قابل تعیین به وسیله‌ی این منحنی‌ها در جدول ۳ نشان داده شده است. در شکل ۱۰ منحنی تغییرات نرمال - لگاریتمی رسم شده برای روابط ارائه شده بر حسب موارد پیش‌بینی شده و نسبت نشست پیش‌بینی شده به نشست اندازه‌گیری شده نشان داده شده است.

براساس این منحنی‌ها، در رابطه‌ی پیشنهادی، نسبت نشست پیش‌بینی شده به نشست اندازه‌گیری شده در ۲۴ مورد از کل موارد مورد بررسی، برابر ۱۳/۱ است.



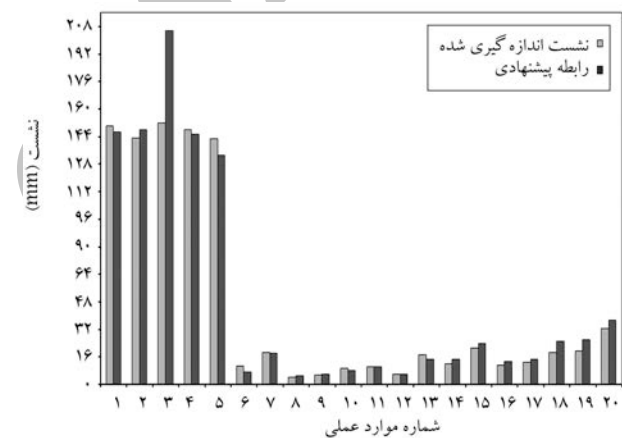
شکل ۹. منحنی‌های نرمال برای نسبت نشست پیش‌بینی شده به نشست اندازه‌گیری شده برای روابط ارائه شده.

جدول ۳. خلاصه‌ی مشخصات منحنی‌های نرمال رسم شده برای روش‌های مورد بررسی.

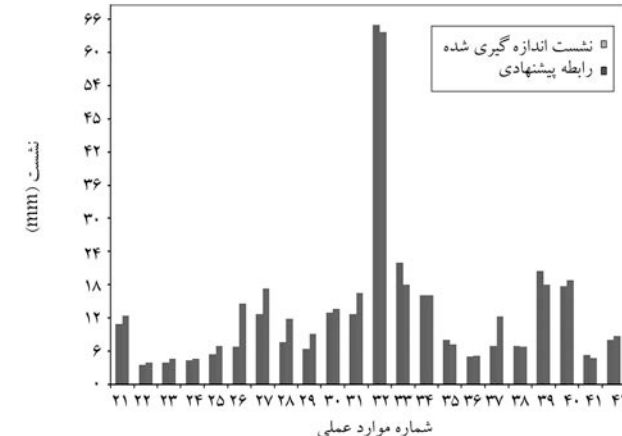
	رابطه‌ی پیشنهادی	رابطه‌ی مایر هووف	رابطه‌ی جانبی	رابطه‌ی اشمرتمن
میانگین	۱/۱۳	۱/۶۵	۱/۴۹	۱/۶۷
انحراف استاندارد	۰/۲۹	۰/۷۷	۰/۷۹	۰/۴۲

توسط رابطه‌ی پیشنهادی قدری از نشسته‌های اندازه‌گیری شده فاصله گرفته، ولی همچنان دقت پیش‌بینی توسط این رابطه بیشتر از سایر روابط مورد بررسی است. شکل ۷ نشان می‌دهد که مقدار عددی نشست پیش‌بینی شده توسط رابطه‌ی پیشنهادی و نشست اندازه‌گیری شده در اکثر موارد موجود اختلاف داشته و نسبت به بی تک و پی نواری از دقت کمتری برخوردار است. دلایل این مسئله می‌تواند بعد از بزرگ پی گستردگی عمیق تأثیر زیاد، صلب عمل نکردن پی گستردگی و بازگذاری نامتقارن و درنتیجه توزیع تنفس غیریکنواخت زیر پی باشد. تمامی موارد یادشده می‌توانند محاسبات را دچار خطأ کرده و درنتیجه مقادیر پیش‌بینی شده به طور چشمگیری متفاوت از مقادیر اندازه‌گیری شده باشند؛ کما این که در منابع به محل دقیق اندازه‌گیری نشست در زیر پی رادیه نیز اشاره نشده است. با این وجود اختلاف عددی بین رابطه‌ی پیشنهادی و مقدار اندازه‌گیری شده نسبت به سایر روابط ارائه شده کمتر است.

در شکل ۸ مقایسه‌ی بین نشسته‌های پیش‌بینی شده توسط رابطه‌ی پیشنهادی و نشسته‌های اندازه‌گیری شده در تمامی موارد عملی مورد بررسی صورت گرفته است. با مطالعه‌ی این نمودار مشخص شد که نشسته‌های پیش‌بینی شده توسط رابطه‌ی پیشنهادی به مقادیر اندازه‌گیری شده نزدیک است. روش‌های آمار و احتمال می‌توانند در مورد صحبت و دقت روابط قضاوت کنند. «توزیع فراوانی» ترتیبی است از

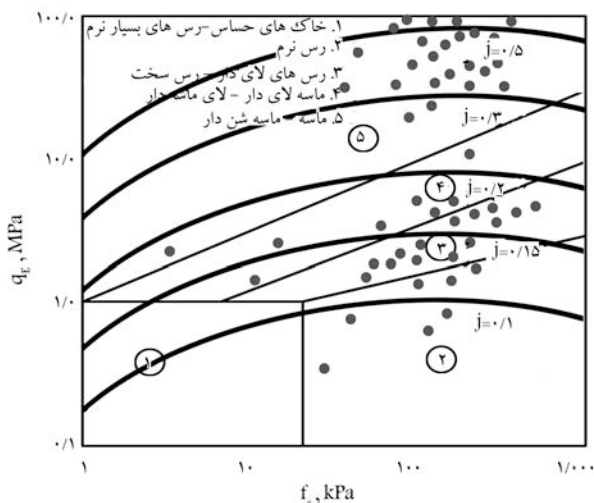


الف) مقایسه‌ی نشسته‌های اندازه گیری شده و مقادیر حاصل از رابطه‌ی پیشنهادی در موارد ۱ تا ۲۰



ب) مقایسه‌ی نشسته‌های اندازه گیری شده و مقادیر حاصل از رابطه‌ی پیشنهادی در موارد ۲۱ تا ۴۲

نمودار ستونی جهت مقایسه نشسته‌های اندازه‌گیری و پیش‌بینی شده.

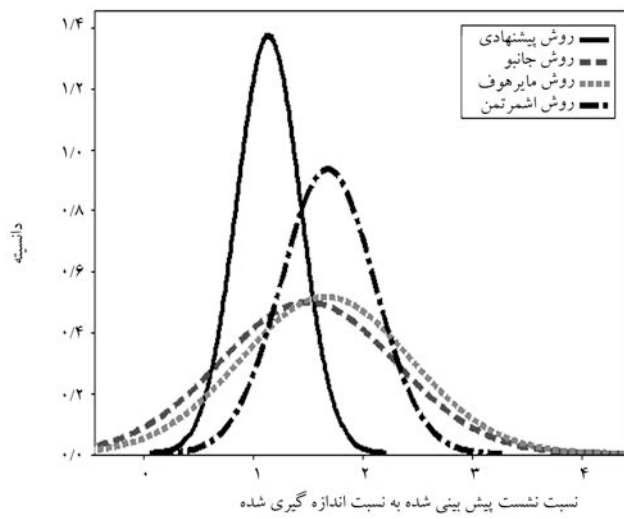


شکل ۱۳. چارت اسلامی- فلینیوس به همراه زهای پیشنهادی و نقاط معادل موارد عملی.

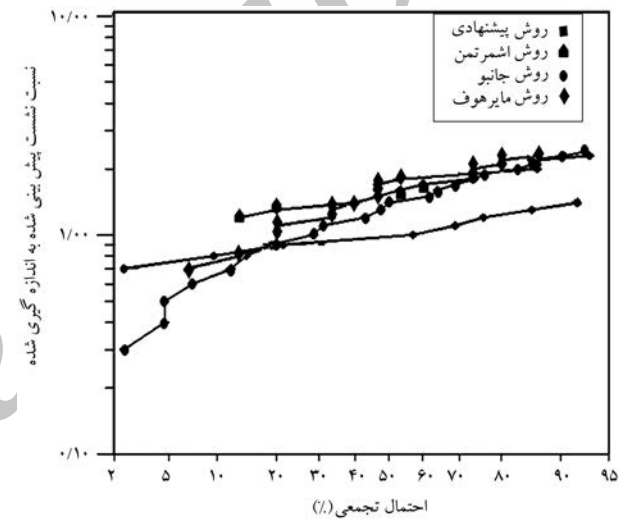
حضور این ۳۴ مورد در قله‌ی منحنی نشان می‌دهد که این رابطه قادر است در بسیاری از موارد، نشست‌ها را نزدیک به نشست اندازه‌گیری شده پیش‌بینی کند. در شکل ۱۱ منحنی‌های فراوانی تجمعی برای روابط مورد بررسی ارائه شده است. چنان که مشاهده می‌شود، منحنی فراوانی رسم شده برای رابطه‌ی پیشنهادی دارای شبیه کمتری است که این نشان‌دهنده‌ی پراکندگی کم ترد پیش‌بینی‌های صورت‌گرفته است. همچنین هرچه این منحنی‌ها در احتمال ۵۰٪ به نسبت ۱ نزدیک‌تر باشند، دقت پیشتری در پیش‌بینی دارند؛ براین اساس مشاهده می‌شود که منحنی رسم شده برای رابطه‌ی پیشنهادی نسبت به سایر روابط ارائه شده به عدد ۱ نزدیک‌تر است. برای بررسی جامعیت رابطه‌ی پیشنهادی، نقاط معادل موارد عملی در شکل ۱۲ (چارت رابرتسون) و ۱۳ (چارت اسلامی - فلینیوس) نشان داده است.

## ۷. نتیجه‌گیری

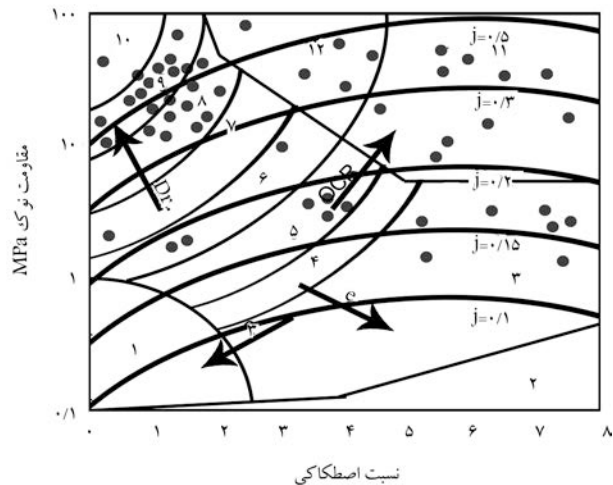
در این تحقیق پس از بررسی روابط متعددی که برای تعیین نشست در پی‌ها ارائه شده، رابطه‌ی پایه‌یی تعریف شده که در آن با در نظر داشتن پارامترهای مؤثر در میزان نشست، از قبیل فشار وارد از طرف سربار ( $q$ )، عرض پی (B)، عمق منطقه‌ی تأثیر، تش مؤثر اولیه در لایه، و سختی خاک بتوان میزان نشست را توسعه رابطه‌یی واحد و با دقت بالاتری تعریف کرد. این عمل از طریق تغییر در پارامترهای  $j$  و  $m$  انجام شده در رابطه‌ی جانبو صورت گرفت. پارامتر  $m$  در رابطه‌ی جانبو بیان‌گر میزان سختی خاک، و پارامتر  $z$  معرف نوع مصالح است. رابطه‌ی ارائه شده توسعه جانبو در روش متعدد مورد توجه قرار گرفته و برای تخمین میزان نشست استفاده از آن توصیه شده است. براساس طبقه‌بندی رفتاری خاک مبتنی بر نتایج  $q_c$  و  $f_s$ ، مقادیر  $m$  و  $u$ ، معرف سختی خاک بوده که به مرتبط است و شاخص  $z$  مربوط به انواع خاک‌ها براساس تمامی داده‌های  $CPTu$  و  $CPT$  مشخص شده است. برای سنجش رابطه‌ی پیشنهادی در برآورد نشست، ۴۲ مورد از ۵۲ مورد عملی جمع‌آوری شده از منابع معتبر بررسی شد. مقادیر حاصل از رابطه‌ی پیشنهادی با مقادیر نشست‌های اندازه‌گیری شده و همچنین مقادیر پیش‌بینی شده برای آنها، که حاصل روابط جانبو،



شکل ۱۵. منحنی‌های نرمال - لگاریتمی برای نسبت نشست پیش‌بینی شده به نشست اندازه‌گیری شده برای روابط ارائه شده.



شکل ۱۶. منحنی فراوانی تجمعی برای نسبت نشست‌های پیش‌بینی شده به نشست‌های اندازه‌گیری شده.



شکل ۱۷. چارت رابرتسون به همراه زهای پیشنهادی و نقاط معادل موارد عملی.

۳. با بررسی نتایج حاصل از نمودارها مشخص شد که رابطه‌ی پیشنهادی برای تعیین میزان نشست در خاک‌های دانه‌بی نسبت به خاک‌های چسبنده دارای کفایت بیشتری است. همچنین دقت پیش‌بینی‌ها در بی‌های تک نسبت به بی‌های نواری و گسترده بیشتر است.

۴. بررسی هم‌زمان متغیرهای نرمال و لگاریتمی-نرمال برای پیش‌بینی روش‌های ارائه شده شناسان می‌دهد میانگین نسبت نشست محاسبه شده به نشست اندازه‌گیری شده در رابطه‌ی پیشنهادی برابر  $1/13$ ، در روش جانبو برابر  $1/49$ ، در روش مایرهوف برابر  $1/66$ ، و در روش اشمرتمن برابر  $1/67$  است. این مقایسه میله‌هوف بیان می‌دهد که در بین روش‌های موجود رابطه‌ی پیشنهادی توانسته با انحراف شناسان می‌دهد که در بین روش‌های موجود رابطه‌ی پیشنهادی شده پیش‌بینی استانداردی برابر  $1/29$  نزدیک‌ترین مقدار را به نشست اندازه‌گیری شده پیش‌بینی کند. این در حالی است که میزان این انحراف در رابطه‌ی اشمرتمن برابر  $1/42$  در رابطه‌ی مایرهوف برابر  $1/77$  و در رابطه‌ی جانبو برابر  $1/79$  است.

۵. در مجموع براساس روابط تشن-کرنش جانبو و مقادیر اصلاح شده مدول توان تشن و نوع مصالح و سختی خاک براساس روش پیشنهادی می‌توان از آن به عنوان جایگزینی برای محاسبات نشست با هدف تخمین مقادیر واقعی تر در مهندسی ژئوتکنیک استفاده کرد.

اشمرتمن و مایرهوف بود، مقایسه شد. نتایج حاصل از ارزیابی پیش‌بینی نشست‌ها توسط متدهای مختلف و نیز تحلیل‌های احتمالی عبارت است از:

۱. در رابطه‌ی پایه‌ی جانبو به هرکدام از حالات مختلف خاک محدوده‌ی بسیار وسیعی از مقدار  $m$  اختصاص داده شده، و نیز استفاده از تنها دو مقدار صفر و  $5^\circ$  برای تمامی حالت‌های خاک باعث به وجود آمدن خطأ در نتایج محاسبات نشست می‌شود و نمی‌توان از آن به عنوان یک رابطه‌ی جامع استفاده کرد. به عنوان مثال حدود تغییرات  $m$  در خاک رس بین  $5$  تا  $60$  است و استفاده از این گسترده‌ی وسیع مقادیر نشست محاسبه شده را دستخوش تغییرات بزرگی می‌کند.

۲. رابطه‌ی پیشنهادی با در نظر گرفتن ضربه‌های مؤثر در نشست (از جمله فشار واردۀ از طرف سربار، عرض پی، محدوده‌ی تأثیر و سختی خاک)، تعیین نوع خاک بر مبنای داده‌های  $CPTu$  و  $CPT$  ( $\text{اعم از } q_c, f_s$  و  $u$ ) و نیز تعیین سختی خاک بر مبنای مقادیر حاصل از آزمایش  $CPT$  و استفاده از چارت طبقه‌بندی رفتاری خاک (چارت رایرسون)، قادر به پیش‌بینی میزان نشست  $30$  مورد پی‌تک،  $5$  مورد پی‌نواری و  $7$  مورد پی‌گسترده با نسبت متوسط مناسب است.

## منابع

1. Coduto, D.P., *Foundation Design: Principles and Practices*, 2nd ed., Prentice Hall, 883 p, (2001).
2. Lunne, T.; Robertson, P. and Powell, J.J., *Cone Penetration Testing in Geotechnical Practice*, Blackie Academic and professional, 191 p, (1997).
3. Kulhawy, F.H. and Mayne, P.W., *Manual on Estimating Soil Properties for Foundation Design*, Electric Power Research Institute, Palo Alto, Calif (1990).
4. Chen, B. and Mayne, P. "Type 1 and 2 piezocone evaluations of over consolidation ratio in clays", *Proceedings of CPT 95*, **2**, pp. 141-148 (1995).
5. Sully, H., Campanella, R. and Robertson, P.k., Interpretation of Penetration Pore Pressure to Evaluate Stress History in Clays, pp. 993- 999 (1988).
6. Meigh, A.C., *Cone Penetration Testing Methods and Interpretation*, Balkema, 135p (1987).
7. Simonini, P. and Cola, S. "Use of piezocone to predict maximum stiffness of venetion soil", *Journal of Geotechnical and Geoenviromental Engineering*, **126**(4) (2000).
8. Schmertmann, J.H., *Guidelines for Cone Test, Performance and Design*, Federal Highway Administration, Report FHWA-TS-78209, Washington, 145 p, (1978a).
9. Meyerhof, G. "Bearing capacity and settlement of pile foundations", *Journal of the Geotechnical Engineering*, *Div., proceedings of the American society of civil Engineering*, ASCE **102**, (GT3), pp. 195-228 (1976).
10. Janbu, N., *Settlement Calculations Based on the Tangent Modulus Concept*, University of Trondheim, Norwegian Institute of Technology, Bulletin (2), 57 p, (1967).
11. *Canadian Foundation Engineering Manual*, CFEM, Third Edition Canadian Geotechnical Society, 512 P, (1992).
12. Eslami, A. and Gholami, M. "Analytical model for the ultimate bearing capacity of foundations from cone resistance", *International Journal of Science and Technology Scientia IRANICA*, **13**(3), pp. 223-233 (2006).
13. Briaud, J.L. and Gibbens, R.M. "Behavior of five large spread footing on sand", *Journal of Geotechnical and Geoenviromental Engineering*, **125**(9), pp. 787-796 (1994).
14. Robertson, P.K. "Soil classification using the cone penetration test", *Canadian Geotechnical Journal*, **27**(1), pp. 151-158 (1990).
15. Eslami, A. and Fellenius, B. "Pile capacity by direct CPT and CPTu methods applied to 102 case histories", *Canadian Geotechnical Journal*, **34**, pp. 886-904 (1997).
16. Eslami, A. and Fellenius, B. "CPT and CPTu data for profile interpretation: Review of methods and a proposed new approach", *Iranian Journal of Science and Technology*, **28**(B1), pp. 69-86 (2004).